

УДК 539.12

ФИЗИКА

А. Х. ВИНИЦКИЙ, В. Г. ВОИНОВ, И. С. СТРЕЛЬЦОВ,  
академик АН КазССР Ж. С. ТАКИБАЕВ, И. Я. ЧАСНИКОВ

**ХАРАКТЕРИСТИКИ КОГЕРЕНТНЫХ ВЗАИМОДЕЙСТВИЙ  
 $\pi^-$ -МЕЗОНОВ НА ЯДРАХ ЭМУЛЬСИИ ПРИ ЭНЕРГИИ 60 ГэВ**

При взаимодействии высокозергичных адронов с ядрами вещества наблюдаются процессы когерентного рождения частиц. С запуском серпуховского ускорителя появилась возможность изучать эти процессы вплоть до энергий 60—70 ГэВ. В работе <sup>(1)</sup> сечение когерентных взаимодействий при энергии 60 ГэВ оценивали из анализа углов вылета частиц и распределения по множественности. Однако для более корректного выделения таких событий необходимо измерение всех кинематических характеристик <sup>(2)</sup>.

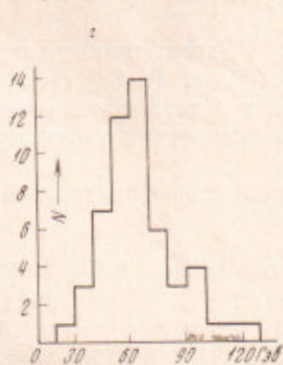


Рис. 1

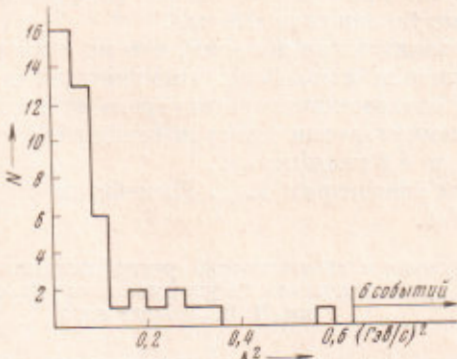
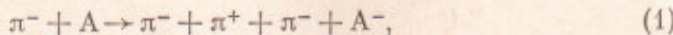


Рис. 2

В настоящей работе изучаются 3- и 5-лучевые события в ядерной фотоэмulsionии типа БР-2, найденные просмотром вдоль следов первичных пиона на длине 870 м.

По измерению многократного рассеяния определены импульсы практических всех вторичных частиц в 3-лучевых, а также в 5-лучевых взаимодействиях, для которых  $\Sigma \sin \theta_i \leqslant 0,3$  ( $\theta_i$  — пространственный угол вылета вторичных частиц). Рассеяние измерено на полуавтоматическом микроскопе МИРЭ-2. Ложное рассеяние дисторсии исключалось методом корреляционных моментов <sup>(3)</sup>. Методика определения импульсов проверена на следах первичных частиц. На рис. 1 приведено распределение по импульсам 54 таких частиц, имеющих длину не менее 5 см. Среднее значение импульса согласуется с энергией налетающего пиона.

Для выделения когерентных событий, идущих по реакции



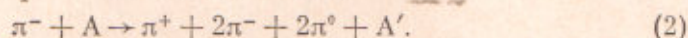
отбирались взаимодействия без серых и черных следов, ядер отдачи и следов б-электронов, удовлетворяющих условиям

$$\Sigma \sin \theta_i \leqslant 0,3, \quad \Sigma (E_i + \Delta E_i) \geqslant E_0,$$

где  $E_i$  и  $E_0$  — энергия вторичной и первичной частиц соответственно. На рис. 2 приведено распределение по квадрату четырехмерного импульса,

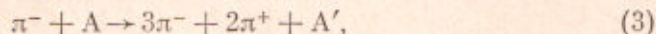
переданного системе из трех  $\pi$ -мезонов в таких событиях. Из рисунка видно, что характер распределения резко изменяется при  $\Delta^2 \geq 0,12$  ( $\text{Гэв}/c^2$ ). Подобное распределение по  $\Delta^2$  для 3-лучевых взаимодействий получено в работах <sup>(2, 4)</sup>, выполненных с помощью методики пузырьковых камер при энергии 16 Гэв и в ядерной эмульсии при энергии 17 Гэв, где было показано, что всплеск в распределении объясняется когерентными событиями. На основании этого для отделения когерентных взаимодействий использован дополнительный критерий  $\Delta^2 \leq 0,12$  ( $\text{Гэв}/c^2$ )<sup>2</sup>. Число когерентных событий, идущих по реакции (4), если применять этот критерий, уменьшается с 50 до 35 м и соответственно средний свободный пробег увеличивается до  $24,8^{+5,0}_{-3,5}$  м при энергии 17 Гэв, соответствующее значение  $\lambda = 86^{+25}_{-18}$  м <sup>(2)</sup>.

С другой стороны, превышение числа 3-лучевых событий с  $\Sigma \sin \theta_i \leq 0,3$  над числом фоновых событий (4-лучевые взаимодействия с серым и черным треком и 3-лучевые с  $\delta$ -электроном) составляет 50. Такое же число дает выброс 3-лучевых взаимодействий в распределении по множественности <sup>(1)</sup>. Это расхождение (15 случаев), вероятно, объясняется когерентными событиями типа



Средний свободный пробег такого процесса равен  $\lambda = 58^{+20}_{-12}$  м.

По приведенным выше критериям среди 5-лучевых событий выделено 10 когерентных взаимодействий, идущих по реакции



для которых  $\lambda = 87^{+40}_{-21}$  м. Отсюда следует, что сечение реакции (2) несколько больше или равно сечению реакции (3), а средний свободный пробег для всех 5-частичных когерентных взаимодействий  $\lambda = 34,8^{+8,7}_{-5,7}$  м.

Для когерентных процессов типа (1) построено распределение по эффективным массам трех  $\pi$ -мезонов (рис. 3). Из рисунка видно, что распределение имеет максимум в области 1,1 Гэв, что совпадает с данными <sup>(2)</sup>, полученными при энергии 17 Гэв <sup>(2, 4, 5)</sup>. Наблюдаемое распределение по массам не объясняется фоновой кривой, рассчитанной по полусной диаграмме с обменом  $\rho$ -мезоном и с учетом формфактора ядра <sup>(7)</sup>. Согласно <sup>(6)</sup>, формфактор ядра учитывался множителем  $\exp\left[-\frac{R^2}{3}\Delta^2\right]$  в выражении для сечения неупругого взаимодействия  $\pi$ -мезона на нуклоне с образованием двух частиц. На рис. 3 приведены кривые, рассчитанные для ядер углерода и серебра, они незначительно отличаются одна от другой и имеют максимум в области 2,4–3,0 Гэв. Максимум в распределении при 1,1 Гэв может быть обусловлен или эффектом Дека <sup>(6)</sup>, или тем, что сечение рождения  $A_1$ -мезона в 3-частичных реакциях не уменьшается с ростом энергии налетающего  $\pi$ -мезона. С другой стороны, фон, построенный по событиям, моделированным методом Монте-Карло, с применением тех же критериев отбора, что и для реальных взаимодействий, имеет максимум также при 1,1 Гэв (рис. 3).

В 5-лучевых когерентных взаимодействиях эффективные массы 5 частиц находятся в области 1,2–2,6 Гэв со средним значением 2,02 Гэв.

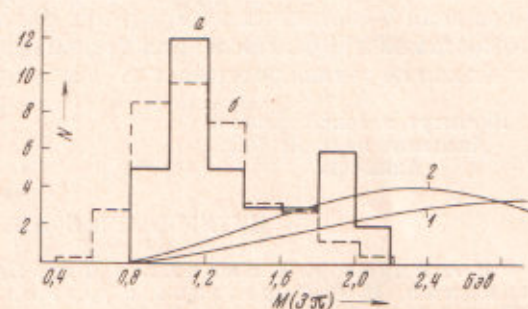


Рис. 3. Распределения по эффективным массам системы из трех  $\pi$ -мезонов: сплошная линия — эксперимент; штриховая линия — моделированные события; 1 и 2 — фоновые кривые для ядер углерода и серебра соответственно

Принимая во внимание сказанное выше, можно сделать выводы: а) сечение когерентного образования системы  $\pi^+\pi^-\pi^-$  в конечном состоянии растет с ростом энергии первичной частицы, в то время как максимум в распределении по эффективным массам этой системы остается в той же области, что и при энергии 17 Гэв; б) значительно возрастает число 5-частичных когерентных взаимодействий. Так, при 17 Гэв <sup>(8)</sup> доля событий реакции (3) по отношению к реакции (1) составляет 2%, а при энергии 30 Гэв доля 5-частичных когерентных состояний по сравнению с 3-частичным составляет 70%. Последняя величина, может быть, несколько завышена, так как не учтена реакция  $\pi^-A \rightarrow \pi^-\pi^0\pi^-A'$ .

Институт ядерной физики  
Академии наук КазССР  
Алма-Ата

Поступило  
12 II 1970

#### ЦИТИРОВАННАЯ ЛИТЕРАТУРА

- <sup>1</sup> З. А. Анзор, А. Х. Винницкий и др., Ядерн. физ., **10**, 5, 991 (1969). <sup>2</sup> А. Х. Винницкий, И. С. Стрельцов и др., Изв. АН КазССР, сер. физ.-матем., **2**, 90 (1967). <sup>3</sup> В. Г. Воинов, И. Я. Часников, Многократное рассеяние частиц в ядерных фотоэмulsionях, Алма-Ата, 1969. <sup>4</sup> J. F. Allard, D. Drijard et al., Nuovo Cim., **46A**, 731 (1966). <sup>5</sup> J. J. Veillet, Sci. Rep. CERN, **7/1**, 537 (1968). <sup>6</sup> R. T. Deck, Phys. Rev. Lett., **13**, 5, 169 (1964). <sup>7</sup> А. Х. Винницкий, И. Г. Голяк и др., ЖЭТФ, **44**, 2, 424 (1963). <sup>8</sup> R. Huson, H. J. Lubatti et al., Phys. Lett., **B28**, 3, 208 (1968).